

Reator Tubular Autotérmico Para Produção de Amônia

João Eduardo Levandoski, RA: 265243

17 de janeiro de 2021

A reação de síntese de amônia é limitada pelo equilíbrio e é demonstrada pela Equação 1.



A conversão de amônia será obtida em um reator do tipo autotérmico, deste modo o reagente será utilizado como fluido refrigerante da própria reação.

Para obtenção dos perfis de é necessário o equacionamento dos balanços de massa e energia do sistema.

O balanço de massa será feito em função do produto que é a amônia NH_3 , Equação 2

$$\frac{dF_A}{dV} = 2r \quad (2)$$

Como V é o volume da reação e temos a área do tubo que é A_c , pode-se escrever o BM em função do comprimento do reator, Equação 3.

$$\frac{dF_A}{dz} = 2A_c r \quad (3)$$

Assumindo a condição de gás ideal e com os dados fornecidos obtém-se a vazão molar com a Equação 4.

$$F_T = \frac{P_T \cdot Q_0}{RT_0} \quad (4)$$

Logo a vazão de amônia com base nas frações de entrada, dadas no enunciado, é obtida pela Equação 5.

$$F_{A0} = F_T x_{NH_3}^0 \quad (5)$$

O enunciado forneceu os parâmetros γ e β que são parte integrantes do balanço de energia, sendo assim o balanço de energia será organizado de modo a poder utilizar eles. De modo geral o BE pode ser escrito como a Equação 6

$$Q\rho\hat{C}_p \frac{dT}{dV} = \dot{q}_{fluido} - \Delta H_R \cdot r \quad (6)$$

Sendo q o calor do fluido refrigerante, que pode ser escrito como a Equação 7, onde T_a é a temperatura do fluido refrigerante e T a do reator.

$$\dot{q}_{fluido} = \frac{2}{R}U(T_a - T) \quad (7)$$

Desse modo juntando a Equação 6 com 7 e dividindo tudo por $Q\rho\hat{C}_p$, obtém-se a Equação

$$\frac{dT}{dV} = -\frac{\Delta H_R \cdot r}{Q\rho\hat{C}_p} + \frac{2U(T_a - T)}{RQ\rho\hat{C}_p} \quad (8)$$

Colocando em função de z, sabendo que $dV = A_c dz$ e $A_c = \pi R^2$, o balanço de energia para o reator fica como na Equação 9

$$\frac{dT}{dz} = -\frac{\Delta H_R A_c}{Q\rho\hat{C}_p} r + \frac{2U}{RQ\rho\hat{C}_p} (T_a - T) \quad (9)$$

Substituindo $\frac{2U}{RQ\rho\hat{C}_p}$ por γ e $\frac{\Delta H_R A_c}{Q\rho\hat{C}_p}$ por β temos a Equação 10, como BE final para o reator.

$$\frac{dT}{dz} = -\beta r + \gamma(T_a - T) \quad (10)$$

O balanço de energia para o fluido refrigerante pode ser escrito como a Equação 11

$$Q_a \rho_a \hat{C}_{pa} \frac{dT_a}{dV} = \dot{q}_{fluido} \quad (11)$$

Como o fluido refrigerante possui a mesma vazão e propriedades dos reagentes o termo $Q_a \rho_a \hat{C}_{pa}$ é igual a $Q\rho\hat{C}_p$, e se escrever em função do comprimento do reator e sabendo que $dV = A_c dz$ e $A_c = \pi R^2$, tem-se a Equação 12

$$\frac{dT_a}{dV} = \frac{2\pi RU}{Q\rho\hat{C}_p} (T_a - T) \quad (12)$$

Substituindo $\frac{2\pi RU}{Q\rho\hat{C}_p}$ por γ o BE final para o fluido refrigerante é a Equação 13

$$\frac{dT_a}{dV} = \gamma(T_a - T) \quad (13)$$

Com os balanços de massa e energia, e o modelo cinético fornecido no enunciado Equação 14

$$-r = \frac{k_{-1}}{RT} \left(K^2 \frac{P_{N_2} P_{H_2}^{3/2}}{P_{NH_3}} - \frac{P_{NH_3}}{P_{H_2}^{3/2}} \right) \quad (14)$$

A velocidade específica pode ser calculada com a Equação 15

$$k_{-1} = k_{-10} \exp \left[\frac{-E_a}{R} \frac{1}{T} \right] \quad (15)$$

Constante de equilíbrio na temperatura de referência:

$$K(T_R) = \exp \left[\frac{-\Delta G^o}{R} \frac{1}{T} \right] \quad (16)$$

Variação da constante de equilíbrio em função da temperatura:

$$K = K(T_R) \exp \left[\frac{\Delta H_R}{R} \left(\frac{1}{T_r} - \frac{1}{T} \right) \right] \quad (17)$$

Vazões molares:

$$F_T = \sum F_i \quad (18)$$

Pressão parcial seguindo a lei de Raoult:

$$P_i = y_i P_T \quad (19)$$

Balço estequiométrico:

$$F_{N_2} = F_{N_2}^0 - 1/2(F_{NH_3} - F_{NH_3}^0) \quad (20)$$

$$F_{H_2} = F_{H_2}^0 - 3/2(F_{NH_3} - F_{NH_3}^0) \quad (21)$$

Alguns dados não foram compatíveis (Q e ΔG^0) com a resolução correta, sendo assim para ser possível a resolução os dados utilizados foram:

- $P = 30,3975 \times 10^6 Pa$
- $L = 12 \text{ m}$
- $A_c = 1 \text{ m}^2$
- $Q = 0,16 \text{ m}^3/s$
- $x_{NH_3}^0 = 0,015$
- $x_{N_2}^0 = 0,985(1/4)$
- $x_{H_2}^0 = 0,985(3/4)$

- $\gamma = 0,5 \text{ m}^{-1}$
- $\beta = -2,342 \text{ m}^2.K.s/mol$
- $k_{1_0} = 7,897 \times 10^{16} \text{ Pa/s}$
- $\frac{E}{R} = 2 \times 10^4 \text{ K}$
- $\Delta H_r = (-5,02 \times 10^4) \text{ J/mol}$
- $\Delta G^0 = (17,782 \times 10^3) \text{ J/mol}$

Com o uso da linguagem de programação Python, resolveu-se o sistema de EDOs acima demonstrado. O algoritmo desenvolvido pedia um chute de temperatura de entrada, o chute foi de 400 K, após isso foram feitas aproximações automáticas, após 192 iterações encontrou-se a T de entrada tal que a T_a fosse igual a 323 K.

A Temperatura inicial obtida foi:

$$T_a(0) = T(0) = 920,10K$$

Com a temperatura acima chegou a conversão:

$$X = 30,38\%$$

Os perfis obtidos para as temperatura foram os disponibilizados na Figura 1, os demais perfis de vazões e frações estão nas Figuras 2 e 3, respectivamente.

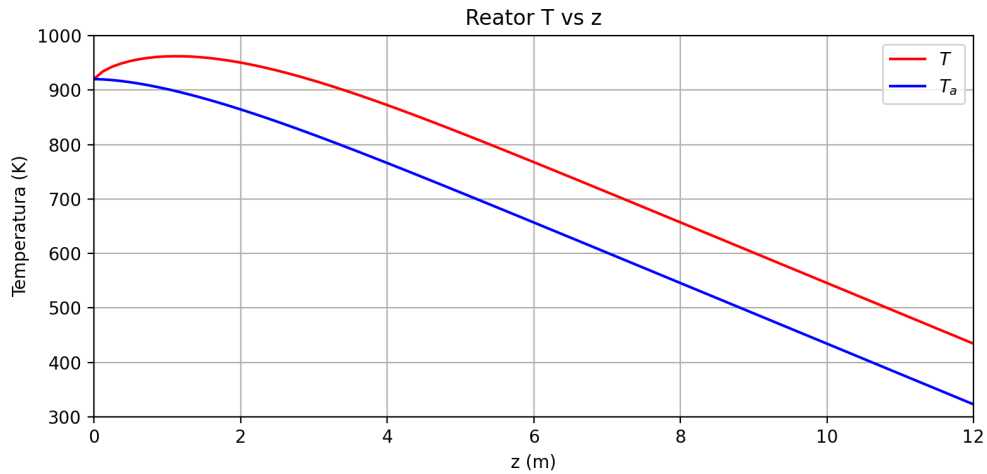


Figura 1 – Temperaturas versus z

Segue em anexo o algoritmo implementado em Python completo utilizado nos cálculos. Esse algoritmo pode ser executado no Google Colab online.

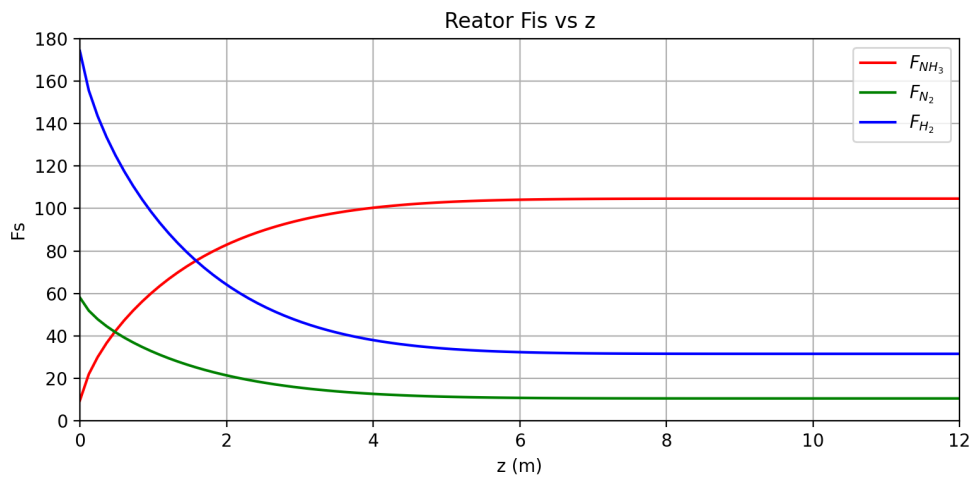


Figura 2 – Vazões versus z

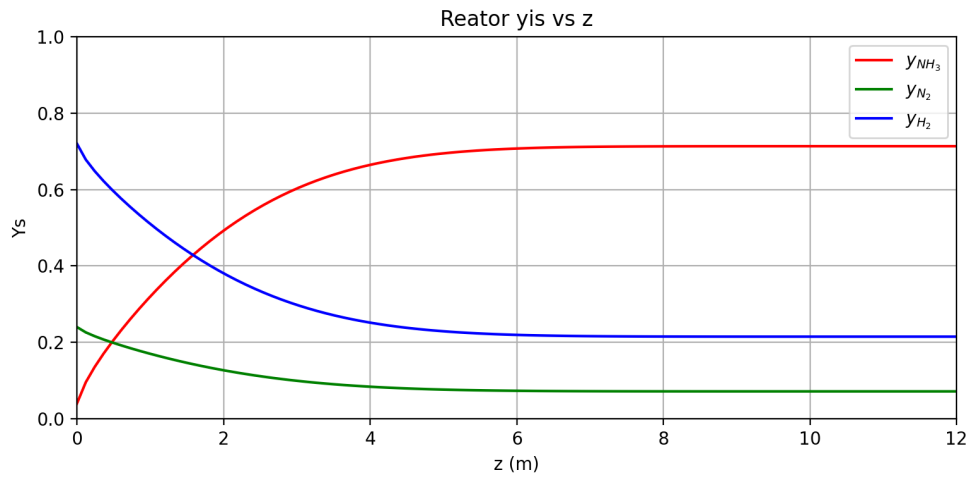


Figura 3 – Frações versus z

Anexos

```

1 # -*- coding: utf-8 -*-
2 import numpy as np
3 from numpy import exp
4 import matplotlib.pyplot as plt
5 from scipy.integrate import odeint
6
7 def plots():
8     plt.figure(dpi=100, figsize=(9, 4))
9     plt.plot(z, T, 'r', label='$T$')
10    plt.plot(z, Ta, 'b', label='$T_a$')
11    plt.xlabel('z (m)')
12    plt.ylabel('Temperatura (K)')
13    plt.title('Reator T vs z')
14    plt.xlim(0, L)
15    plt.ylim(300, 1000)
16    plt.legend()

```

```

17 plt.grid()
18 plt.savefig('temp.png', dpi=200)
19 plt.show()
20
21 Fn = Fnf - (1/2)*(Fa - Faf)
22 Fh = Fhf - (3/2)*(Fa - Faf)
23
24 plt.figure(dpi=100, figsize=(9, 4))
25 plt.plot(z, Fa, 'r', label='$F_{NH_3}$')
26 plt.plot(z, Fn, 'g', label='$F_{N_2}$')
27 plt.plot(z, Fh, 'b', label='$F_{H_2}$')
28 plt.xlabel('z (m)')
29 plt.ylabel('Fs')
30 plt.title('Reator Fis vs z')
31 plt.xlim(0, L)
32 plt.ylim(0, 180)
33 plt.legend()
34 plt.grid()
35 plt.savefig('Fis.png', dpi=200)
36 plt.show()
37
38 Ft = Fa + Fn + Fh
39 ya = Fa/Ft
40 yn = Fn/Ft
41 yh = Fh/Ft
42
43 plt.figure(dpi=100, figsize=(9, 4))
44 plt.plot(z, ya, 'r', label='$y_{NH_3}$')
45 plt.plot(z, yn, 'g', label='$y_{N_2}$')
46 plt.plot(z, yh, 'b', label='$y_{H_2}$')
47 plt.xlabel('z (m)')
48 plt.ylabel('Ys')
49 plt.title('Reator yis vs z')
50 plt.xlim(0, L)
51 plt.ylim(0, 1)
52 plt.legend()
53 plt.grid()
54 plt.savefig('Yis.png', dpi=200)
55 plt.show()
56
57 def edo(y, z):
58     global X
59     FA, T, Ta = y
60     K298 = exp(-deltaG/Rg/T)
61     K = K298*exp((deltaHr/Rg)*(1/Tr - 1/T))
62
63     #Velocidade especifica
64     k1 = k10*exp(-ER/T) #Pa/s
65
66     #Determinacao da vazao molar inicial
67     FT0 = v0*(P)/Rg/T0 #mol/s
68
69     #Vaz o molar inicial de cada composto
70     FAF = FT0*x0nh3 #mol/s
71     FH2f = FT0*x0h2 #mol/s
72     FN2f = FT0*x0n2 #mol/s
73
74     #Vaz o molar de nitrogênio e hidrogênio com o decorrer da reação
75     FN2 = FN2f - 0.5*(FA - FAF) #mol/s
76     FH2 = FH2f - 1.5*(FA - FAF) #mol/s

```

```

77
78     #Vaz o molar total com o decorrer da rea o
79     FT = FA + FN2 + FH2 #mol/s
80
81
82     #Press o
83     yA = FA/FT
84     yN2 = FN2/FT
85     yH2 = FH2/FT
86     Pa = P*yA #Pa
87     Ph2 = P*yH2 #Pa
88     Pn2 = P*yN2 #Pa
89
90     #Convers o de nitrog nio
91     X = 1 - FN2/FN2f
92
93     #Equa o da taxa
94     r = (k1/(Rg*T))*((K**2)*(((Pn2)*Ph2**1.5)/Pa)-Pa/(Ph2**1.5))
95
96     #Balan o de massa
97     dFAdz= 2*Ac*r # 2xAc
98
99     #Balan o de energia
100    dTdz = -beta*r + gama*(Ta - T) #K/m
101
102    #Balan o de energia do fluido refrigerante
103    dTadz= gama*(Ta - T) #K/m
104
105    dydz = [dFAdz, dTdz, dTadz]
106    return dydz
107
108    global X
109    #Dados fornecidos pelo enunciado
110    P = 300*101325 #Pa
111    L = 12 #m
112    Ac = 1 #m
113    v0 = 0.16
114    x0nh3 = 0.015
115    x0n2 = 0.985*(1/4)
116    x0h2 = 0.985*(3/4)
117    gama = 0.5 #1/m
118    beta = -2.342 #m Ks/mol
119    k10 = (7.794*10**11)*101325 #Pa/s
120    ER = (2*10**4) #K
121    deltaHr = (-1.2*10**4)*4.184 #J/mol
122    deltaG = (4.25*10**3)*4.184 #J/mol
123
124    #Constante universal dos gases
125    Rg = 8.3145 #J/mol/K
126
127    #Constante de equil brio
128    Tr = 298 #K
129
130    i = 0
131    Taf = 323 #323
132
133    chute = 400
134    while True and i<200:
135        i+=1
136        if i > 1:

```

```

137     Tfinal = Ta[-1]
138     dif = (Tfinal - Taf)
139     erro = dif/Taf
140     print(f'i: {i} x: {X} Tentrada: {Tentrada} Tfinal:{Tfinal} delta: {
dif} erro: {erro}')
141     if abs(erro) < 1e-4:
142         break
143     if Tfinal > Taf:
144         Tentrada = Tentrada + dif/30
145     else:
146         Tentrada = Tentrada - dif/30
147 else:
148     Tentrada = chute
149 z = np.linspace(0, L, 100)
150
151 T0 = Tentrada #K
152 FT0 = v0*(P)/Rg/T0 #mol/s
153 Fa0 = FT0*xOnh3
154 # Na, T, Ta
155 y0 = Fa0, Tentrada, Tentrada
156 sol = odeint(edo, y0, z)
157 Fa, T, Ta = sol[:, 0], sol[:, 1], sol[:, 2]
158
159 plots()

```

Listing 1 – Código para o cálculo